

УДК 539.186 + 538.122

АСИММЕТРИЯ НЕУПРУГОГО РАССЕЯНИЯ АТОМОВ В МАГНИТНОМ ПОЛЕ

E. E. Никитин

Показано, что индуцируемые постоянным магнитным полем переходы между термами квазимолекулы, образованной при медленных столкновениях атомов, приводят к нарушению аксиальной симметрии рассеяния. В результате интерференции амплитуд переходов под действием поля и кориолисова взаимодействия возникает линейный по полу эффе́кт асимметрии, проявляющийся в различной интенсивности рассеяния вправо и влево от плоскости, построенной на векторах поля и начальной относительной скорости. Оценены дифференциальные сечения рассеяния атомов щелочных металлов в магнитном поле при квазирезонансной перезадаче возбуждения.

Введение

Используемые в современных экспериментах по сенсибилизированной флуоресценции магнитные поля (до 10^4 Гс) позволяют влиять на величины сечений либо в результате существенного изменения начального состояния (например, вследствие разрыва сверхтонкой связи [1, 2]), либо при снятии вырождения атомного состояния (например, квазирезонансная передача возбуждения между зеемановскими подуровнями [3]). В обоих случаях магнитное взаимодействие не конкурирует с межатомными взаимодействиями, вызывающими тот или иной переход.

В этой работе исследуется случай, когда такая конкуренция возможна. Поскольку взаимодействие квазимолекулы с магнитным полем \mathbf{B} сравнительно невелико, малым должно быть и взаимодействие, ответственное за неупругое рассеяние в отсутствие поля. Таковым при медленных столкновениях является неадиабатическое взаимодействие π , в частности, его часть — кориолисова связь [4]. При этом интересным моментом является существование таких пар молекулярных состояний, которые связаны одновременно как магнитным, так и кориолисовым взаимодействием. Это приводит к появлению интерференционного эффекта, линейного по полу и проявляющегося в различной интенсивности рассеяния влево и вправо от плоскости, построенной на векторе поля \mathbf{B} и векторе относительной скорости до столкновения \mathbf{v} .

Гамильтониан взаимодействия и правила отбора

В полуклассическом приближении гамильтониан взаимодействия молекулярных состояний (квантование орбитального и спинового моментов электронов на молекулярную ось n) с вращением молекулы (V_r) и магнитным полем (V_m) имеет вид

$$H_{t_3} = V_r + V_m = \dot{\psi}(L_t + S_t) + \mu B_t(L_t + 2S_t) + \mu B_m(L_m + 2S_m) + \mu B_n(L_n + 2S_n), \quad (1)$$

где $\dot{\psi}$ — угловая скорость вращения молекулярной оси, зависящая от времени через межатомное расстояние R и прицельный параметр b

$$\dot{\psi} = vb/R^2, \quad R = R(t), \quad (2)$$

μ — магнетон Бора, L_k , S_k и B_k — проекции векторов углового орбитального момента электрона, спина и внешнего поля в молекулярной системе координат. Ось \hat{n} этой системы направлена по молекулярной оси, ось \hat{l} — по вектору отно-

сительного углового момента 1. В дальнейшем базис молекулярных функций обозначается как $|\Omega\rangle$, где Ω — модуль проекции вектора $L+S$ на n , и $\sigma(\sigma=\pm)$ — характер отражения функции в плоскости столкновения. Заметим, что при $R \rightarrow \infty$ матричные элементы от H_{b_3} между различными молекулярными состояниями, вообще говоря, не исчезают [4]. Мы будем считать, однако, что рассматриваемый процесс определяется переходами в молекулярной области (взаимодействие углового момента электронов с молекулярной осью больше, чем кориолисово или магнитное взаимодействия), так что указанная особенность H_{b_3} несущественна.

На основании свойств симметрии векторов L и S устанавливаются следующие правила отбора для их компонент

$$\langle \Omega^\sigma | L_l, S_l | (\Omega \pm 1)^\sigma \rangle \neq 0, \quad (3)$$

$$\langle \Omega^\sigma | L_m, S_m | (\Omega \pm 1)^{-\sigma} \rangle \neq 0, \quad (4)$$

$$\langle \Omega^\sigma | L_n, S_n | \Omega^{-\sigma} \rangle \neq 0. \quad (5)$$

Правило отбора (3) совпадает с правилами отбора для оператора кориолисова взаимодействия. Поэтому компонента поля B_l , действуя аналогично угловой скорости $\dot{\phi}$, может увеличивать или уменьшать вероятность перехода в зависимости от того, совпадают или нет знаки $\dot{\phi}$ и B_l . Переходы, подчиняющиеся правилам отбора (4) и (5), вообще запрещены в отсутствие поля. Вероятность перехода между состояниями, входящими в (3), в первом порядке теории возмущений будет содержать члены линейные и квадратичные по B . Вероятность перехода в случаях (4) и (5) квадратична по полю. Правило отбора (5) связывает вырожденные компоненты (для случая $\Omega=0$) одного терма, если опущенные при записи функций другие квантовые числа совпадают. Если эти числа различаются, то (5) до некоторой степени аналогично правилу отбора для радиальной неадиабатической связи

$$\langle \Omega^\sigma | \partial/\partial R | \Omega^\sigma \rangle \neq 0. \quad (6)$$

В случае $\Omega=0$ вместо вырожденных компонент, вообще говоря, имеются два терма, 0^+ и 0^- , расщепленные во втором порядке спин-орбитальным взаимодействием.

В дальнейшем для определенности мы будем обсуждать случай пересечения термов 0^+ и 1^+ , 1^- , осуществляющейся для димеров щелочных металлов (см. последний раздел).

Вероятность перехода и дифференциальные сечения

Будем считать, что термы 0^+ и 1 коррелируют с различными энергетическими состояниями сталкивающихся атомов, разделенными интервалом $\Delta\varepsilon$. При условии, что термы 0^+ и 1 пересекаются и $|\langle 0^+ | H_{b_3} | 1^+ \rangle| \ll \Delta\varepsilon$, вероятность перехода может быть вычислена в рамках линейной модели [4]. Более того, при выполнении дополнительного ограничения (см. ниже), обеспечивающего применимость приближения средней траектории, дифференциальное сечение (ДС) $q(\Theta, \varphi)$ процесса может быть выражено через классическое ДС упругого рассеяния на среднем терме q_e и вероятности перехода \mathcal{P}_B

$$q(\Theta, \varphi) = \mathcal{P}_B(\Theta, \varphi) q_e(\Theta). \quad (7)$$

Приближение (7) соответствует классическим углам $\Theta \gg \Theta^*$, где угол дифракционного рассеяния Θ^* выражается через волновой вектор k и радиус пересечения R_0 соотношением $\Theta^* = (kR_0)^{-1}$. Если рассматривается рассеяние на малые углы, $\Theta \ll 1$, то \mathcal{P}_B вычисляется методом прицельного параметра для прямолинейной траектории с прицельным параметром b , и затем b выражается как функция Θ в первом порядке по потенциальному $\bar{U}(R)$. Однако явная зависимость вероятности от угла φ может быть установлена сразу, поскольку \mathcal{P}_B для модели Ландау—Зинера пропорционально матричному элементу взаимодействия в точке R_0 . Считая для простоты, что поле B перпендикулярно вектору v , и от-

считывая азимутальный угол φ от плоскости B , v , найдем для полной вероятности перехода $0^+ \rightarrow 1^+, 1^-$

$$\mathcal{P}_B(\Theta, \varphi) = [1 + 2xb \sin \varphi / R_0 + x^2 b^2 / R_0^2] \mathcal{P}_0(b). \quad (8)$$

Здесь $x = \mu B R_0 \langle 0^+ | L_i + 2S_i | 1^+ \rangle / v \langle 0^+ | L_i + S_i | 1^+ \rangle$, $\mathcal{P}_0(b)$ — вероятность перехода без поля и $b = b(\Theta)$. Относительная асимметрия рассеяния вправо и влево равна

$$\alpha = \frac{q(\Theta, \varphi) - q(\Theta, 2\pi - \varphi)}{q(\Theta, \varphi) + q(\Theta, 2\pi - \varphi)} = \frac{2xb(\Theta) \sin \varphi / R_0}{1 + x^2 b^2(\Theta) / R_0^2} \quad (9)$$

и максимальна для $\varphi = \pi/2$, т. е. для рассеяния в плоскости, перпендикулярной B . В приближении Ландау—Зинера вероятность перехода $\bar{\mathcal{P}}_0$, усредненная по штиокельберговским операциям, равна

$$\bar{\mathcal{P}}_0 = \frac{4\pi\hbar r^2 (vb/R_0^2)^2}{\Delta F v (1 - b^2/R_0^2)^{1/2}} = 4\pi r^2 \left(\frac{\Delta_g}{2R_0} \right)^2 \frac{b^2}{R_0 (R_0^2 - b^2)^{1/2}}, \quad (10)$$

где $r = \langle 0^+ | L_i + S_i | 1^+ \rangle$ и $\Delta_g = 2(\hbar v / \Delta F)^{1/2}$ — динамическая ширина области неадиабатичности для лобового столкновения [4], ΔF — разность наклонов аддабатических термов в точке пересечения. Основное условие применимости линейной модели заключается в малости Δ_g по сравнению с R_0 , т. е. $\delta = \Delta_g / 2R_0 \ll 1$. По мере приближения к порогу ($b \rightarrow R_0$) для \mathcal{P}_0 следует использовать аппроксимацию Эйри [4]. При $\Delta b = R_0 - b \ll R_0$ имеем

$$\mathcal{P}_0(b) = 8\pi^2 2^{-1/3} r^2 \delta^{4/3} \text{Ai}(-2^{1/3} \Delta b / R_0 \delta^{4/3}). \quad (11)$$

При $\Delta b / R_0 \delta^{4/3} \gg 1$ функция Эйри выходит на асимптотику, и половина амплитудного значения $\mathcal{P}_0(b)$ совпадает с $\bar{\mathcal{P}}_0(b)$ из (10) при замене $R_0^2 - b^2$ на $2R_0 \Delta b$.

Поскольку сечение упругого рассеяния $q_e(\Theta)$ обычно сильно возрастает с уменьшением угла, наибольший интерес представляет сечение неупругого рассеяния вблизи порога по углу. Представляя функцию отклонения на среднем потенциале в виде

$$\Theta = \Theta_0 (R_0/b)^n, \quad (12)$$

получим следующее выражение для вероятности \mathcal{P}_0 вблизи порога

$$\mathcal{P}_0(\Theta) = 8\pi^2 2^{-1/3} r^2 \delta^{4/3} \text{Ai}^2[-x(\Theta - \Theta_0)/\Theta_0], \quad (13)$$

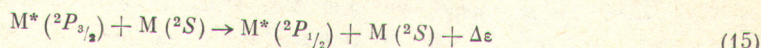
где $x = 2^{1/3} n^{-1} \delta^{-4/3}$. Выражение (7) для ДС с вероятностью (13) справедливо при условии, что угловая ширина $\Delta\Theta_1$ первого максимума функции Эйри ($\Delta\Theta_1 \sim \Theta_0/x$) заметно больше разницы углов $\Theta_0 - \Theta_{in}$, где Θ_{in} — угол радужного рассеяния на нижней ветви двузначной функции отклонения $\Theta = \Theta_{in}(b)$ для неупругого рассеяния [4]. Можно показать, что это условие имеет вид

$$\Theta_0 n \delta^{8/3} \gg \Theta^*, \quad (14)$$

причем при его выполнении углы Θ_0 и Θ_{in} можно считать совпадающими. При выполнении противоположного условия поведение ДС вблизи порога определяется особенностями радужного рассеяния на нижней ветви $\Theta_{in}(b)$.

Приложения к столкновениям атомов щелочных металлов

Столкновения атомов щелочных металлов с квазирезонансной передачей возбуждения



являются, вероятно, оптимальными процессами в отношении экспериментального обнаружения асимметрии рассеяния.

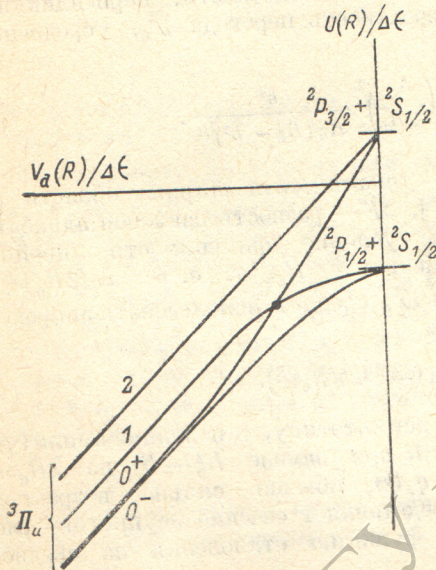
Во-первых, термы димера M_2^* на больших расстояниях известны весьма точно, так как они определяются резонансным диполь-дипольным взаимодействием [5]. Во-вторых, кориолисово взаимодействие между пересекающимися тер-

мами 0^+ и 1 вносит заметный вклад в полное сечение [5, 6]. В-третьих, расстояния R_0 весьма велики, так что магнитное поле начинает конкурировать с кориолисовым взаимодействием уже при умеренных величинах B . Наконец, при термических и даже электрон-вольтных энергиях адиабатическое приближение при $R \approx R_0$ применимо для всех термов за исключением указанной выше пары [7].

Известно, однако, что наряду с кориолисовым взаимодействием при больших расстояниях, отвечающих рассеянию на малые углы, в полное сечение процессса (15) вносят вклад переходы при средних расстояниях в области минимума терма ${}^3\Pi_u$ [6]. Эта область достигается при спиральном сближении партнеров для прицельных параметров $b < b_c$, где b_c — прицельный параметр закручивания. В этом случае рассеяние приблизительно изотропно. Таким образом,

при рассеянии на малые углы переходы при больших b будут намного превалировать над переходами при малых b , хотя вклад обоих механизмов в полное сечение может быть соизмеримым.

При учете только линейной по полуасимметрии из возможных типов переходов, определяемых правилами отбора (3)–(5), можно учитывать только правила отбора (3). Соответствующий переход происходит вблизи точки R_0 , отвечающей пересечению термов 0_u^+ и 1_u (рисунок). По мере уменьшения R и уве-



Термы димера MM^* , связанные неадиабатическим взаимодействием в процессе (15).

Приведена классификация термов для типа связи с по Гунду. При большом дипольном взаимодействии $V_d(R) \gg \Delta\epsilon$ эти термы представляют тонкую структуру терма ${}^3\Pi_u$ типа связи a по Гунду.

личения отношения $V_d(R)/\Delta\epsilon$ ($V_d(R) = d^2/R^3$, d — матричный элемент дипольного момента резонансного перехода в атоме M [5]) термы 0_u^+ и 1_u переходят в тонкие компоненты терма ${}^3\Pi_u$. При закручивании для $b < b_c$ возможны переходы между всеми тремя компонентами этого терма. Предельные вероятности переходов равны $1/4$ (переходы $0^+, 0^- \rightarrow 1^+, 1^-$, $1^+, 1^- \rightarrow 2^+, 2^-$) и $3/8$ (переходы $0^+, 0^- \rightarrow 2^+, 2^-$) [6]. Положение точки R_0 , а также параметры неадиабатического взаимодействия известны [5]. С точностью, достаточной для дальнего, они определяются выражениями

$$R_0 = (\Delta\epsilon/d^2)^{1/3}, \quad \Delta F = \Delta\epsilon/R_0; \quad (16)$$

$$\langle 0_u^+ | L_l | 1_u^+ \rangle = 0, \quad \langle 0_u^+ | S_l | 1_u^+ \rangle = 2^{-1/2}. \quad (17)$$

Из (17) следует $x = 2\mu BR_0/v$. Будем далее считать средний потенциал пропорциональным R^{-3} и определим константу взаимодействия требованием $\bar{U}(R_0) = \Delta\epsilon$ (рисунок).

В этом случае угол Θ_0 в функции отклонения (12) при $n=3$ и сечение упругого рассеяния q_e равны

$$\Theta_0 = 2\Delta\epsilon/E, \quad q_e(\Theta) = (R_0^2/3) \Theta_0^{2/3} \Theta^{-8/3}. \quad (18)$$

Параметры δ и κ в формулах (11) и (13) выражаются через параметр Месси $\xi = \Delta\epsilon R_0/\hbar v$ процесса (15)

$$\delta = \xi^{-1/2}, \quad \kappa = 2^{1/3} \xi^{2/3}/3. \quad (19)$$

Наконец, условие (14) формируется в виде $12\xi^{-1/3} \gg 1$.

В таблице приведены параметры, необходимые для расчета сечения вблизи порога по углу для $M = \text{Na}$, К при термических энергиях. Поскольку условие (14) выполняется, сечение рассчитывается по формуле (7). При учете только

- [4] Е. Е. Никитин, С. Я. Уманский. Неадиабатические переходы при медленных атомных столкновениях. Атомиздат, М., 1979.
- [5] Е. И. Дашевская, Е. Е. Nikitin, A. I. Voronin. Canad. J. Phys., 47, 1237, 1969.
- [6] Е. И. Дашевская. Опт. и спектр., 46, 423, 1979.
- [7] Е. А. Гордеев, Е. Е. Nikitin, A. I. Shushin. Molecular Phys., 33, 1611, 1977.
- [8] L. Krause. Adv. Chem. Phys., 28, 317, 1975.

Поступило в Редакцию 3 февраля 1981 г.